

- はじめに
- LEGO 倒立振子の製作
- PID 制御の学習
- **モデリングの学習**
- 現代制御の学習
- アドバンスト制御の学習
- まとめ

モデリングの学習 (回転型倒立振子)

- ▶ 数理モデル
- ▶ アームのパラメータ同定
 - 2次遅れ系の特性に基づく方法
 - 最小2乗法
- ▶ 振子のパラメータ同定
 - 1自由度振動系の特性に基づく方法
 - 最小2乗法

学習できる
内容の一例



モデリングの学習 (回転型倒立振子)

▶ 数理モデル

▶ アームのパラメータ同定

- 2次遅れ系の特性に基づく方法
- 最小2乗法

▶ 振子のパラメータ同定

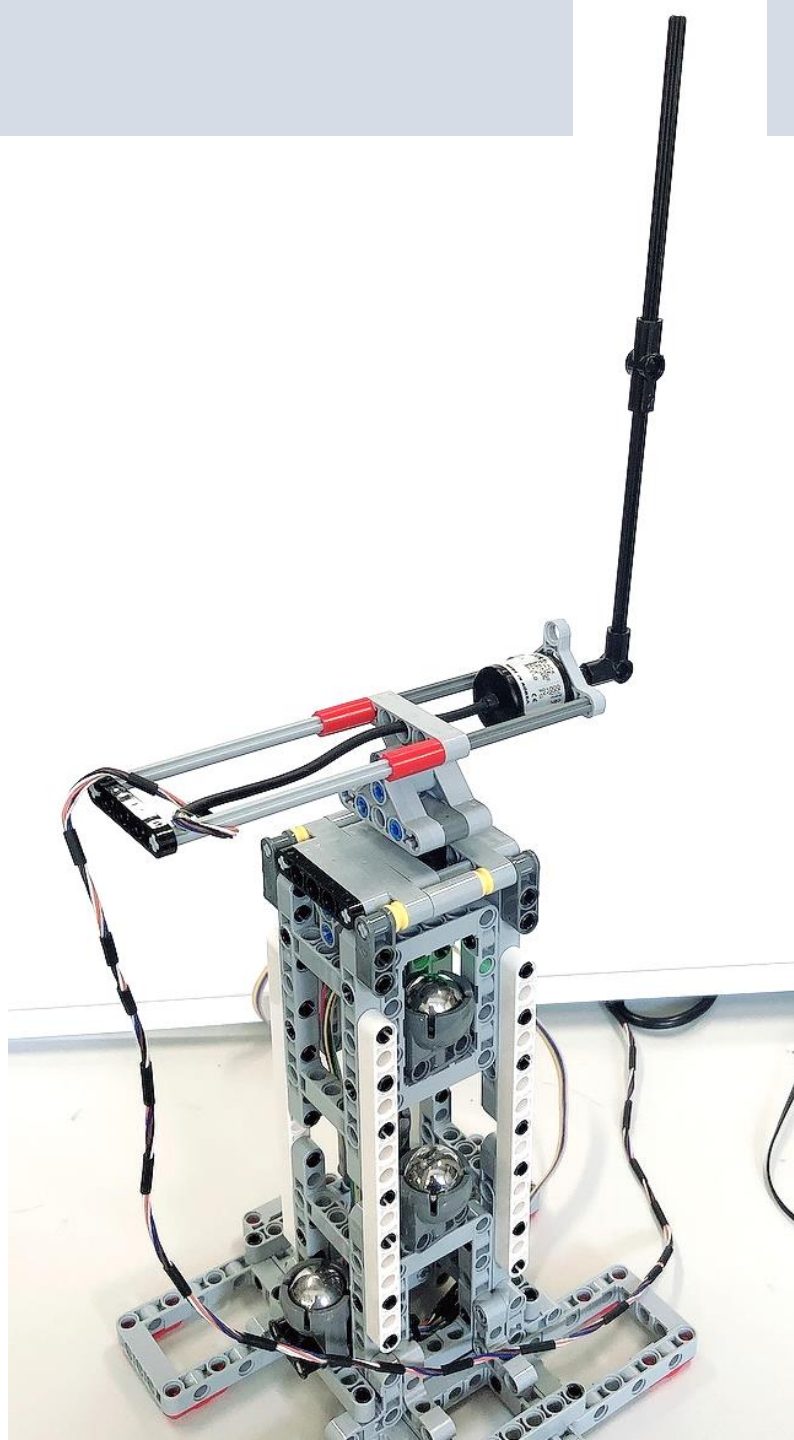
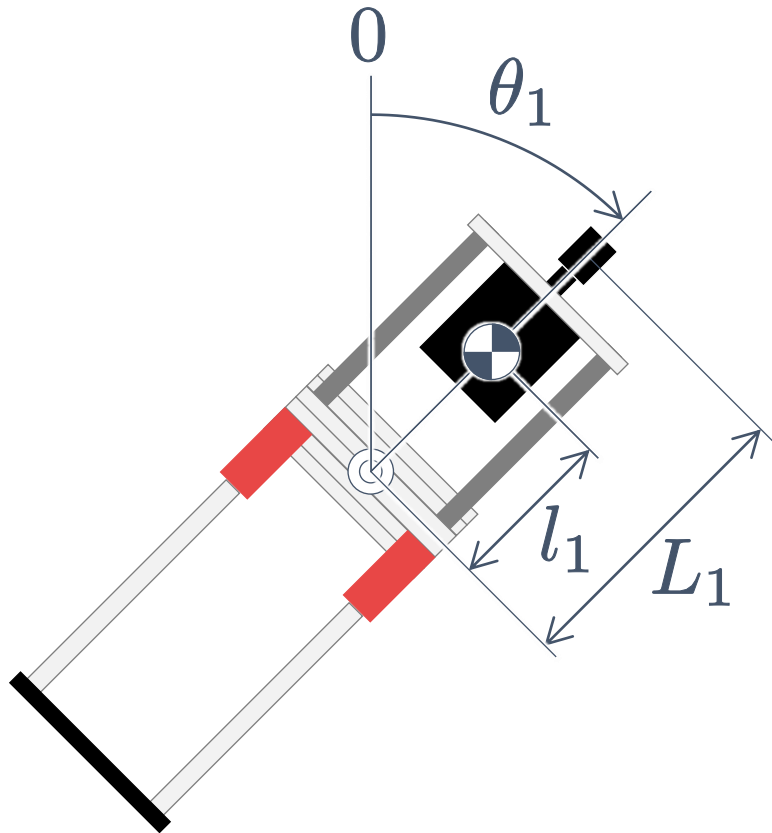
- 1自由度振動系の特性に基づく方法
- 最小2乗法



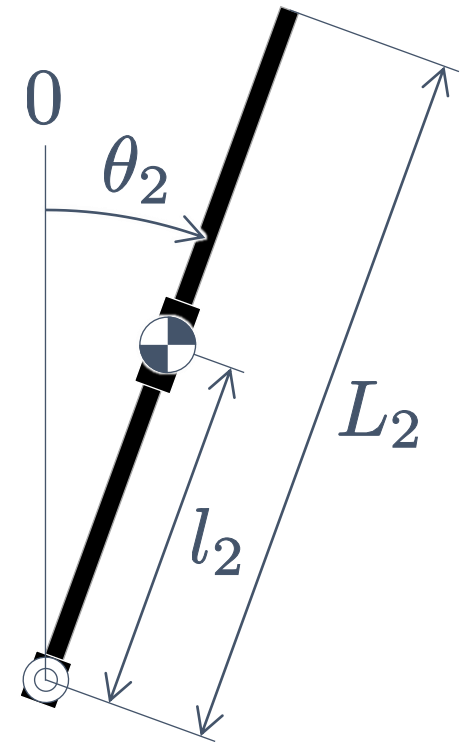
Lagrange 法
モデルの簡略化
パラメータ同定

▶ 数理モデル

アーム (上面図)



振子 (正面図)



▶ 数理モデル

Lagrange の運動方程式

$$\begin{aligned} & (J_1 + m_2 L_1^2 + J_2 \sin^2 \theta_2) \ddot{\theta}_1 + m_2 L_1 l_2 \cos \theta_2 \cdot \ddot{\theta}_2 \\ & = \tau_1 - 2J_2 \dot{\theta}_1 \dot{\theta}_2 \sin \theta_2 \cos \theta_2 + m_2 L_1 l_2 \dot{\theta}_2^2 \sin \theta_2 - c_1 \dot{\theta}_1 \end{aligned}$$

アーム

$$\begin{aligned} & m_2 L_1 l_2 \cos \theta_2 \cdot \ddot{\theta}_1 + J_2 \ddot{\theta}_2 \\ & = J_2 \dot{\theta}_1^2 \sin \theta_2 \cos \theta_2 + m_2 g l_2 \sin \theta_2 - c_2 \dot{\theta}_2 \end{aligned}$$

振子

▶ 数理モデル

アーム駆動系の数理モデル

$$(J_1 + m_2 L_1^2 + J_2 \sin^2 \theta_2) \ddot{\theta}_1 + m_2 L_1 l_2 \cos \theta_2 \cdot \ddot{\theta}_2 \\ = \tau_1 - 2J_2 \dot{\theta}_1 \dot{\theta}_2 \sin \theta_2 \cos \theta_2 + m_2 L_1 l_2 \dot{\theta}_2^2 \sin \theta_2 - c_1 \dot{\theta}_1$$

アーム

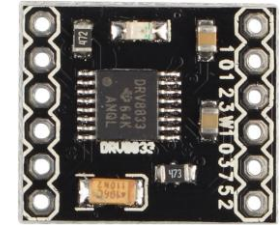
+

ギヤード
DC モータ



+

モータ
ドライバ



- ギヤの減速比が大
- 振子は軽量

振子がアームに
与える影響は小さい！

$$\ddot{\theta}_1 + a \dot{\theta}_1 = b v - d$$

外乱
指令電圧

- 未知パラメータ
- 外乱： 静止摩擦
動摩擦
振子の振動

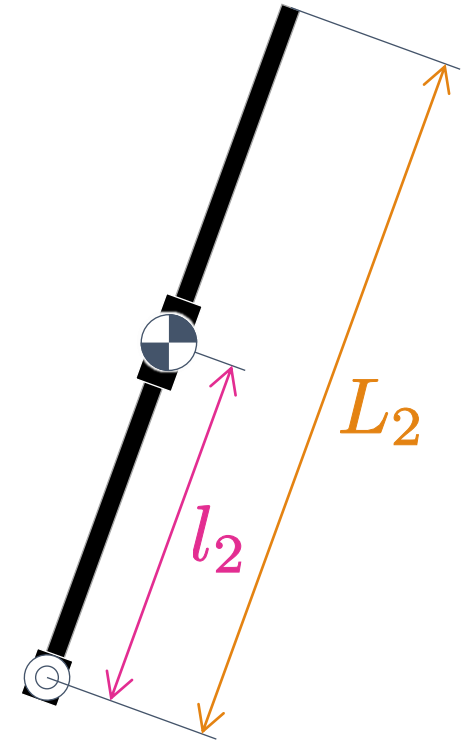
▶ 数理モデル

振子の数理モデル

$$\begin{aligned} & m_2 L_1 l_2 \cos \theta_2 \cdot \ddot{\theta}_1 + J_2 \ddot{\theta}_2 \\ & = J_2 \dot{\theta}_1^2 \sin \theta_2 \cos \theta_2 + m_2 g l_2 \sin \theta_2 - c_2 \dot{\theta}_2 \end{aligned}$$

- 既知パラメータ
- 既知パラメータ
(振子を取り外せば測定可)
- 未知パラメータ

取り外したくないなあ



m_2 : 振子の質量

▶ 数理モデル

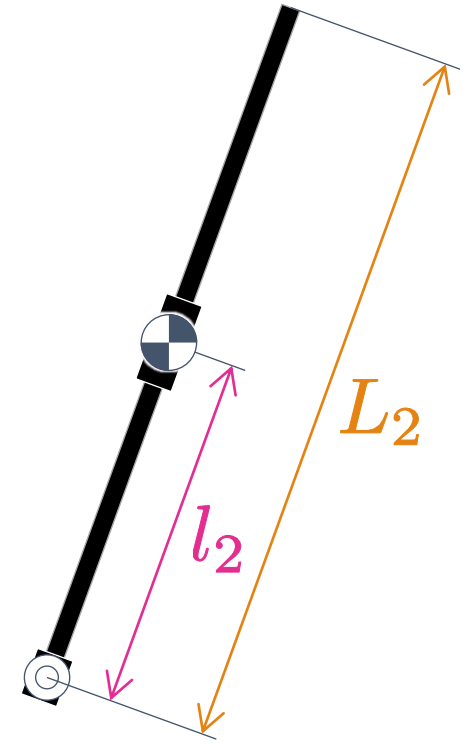
振子の数理モデル

$$\begin{aligned} m_2 L_1 l_2 \cos \theta_2 \cdot \ddot{\theta}_1 + J_2 \ddot{\theta}_2 \\ = J_2 \dot{\theta}_1^2 \sin \theta_2 \cos \theta_2 + m_2 g l_2 \sin \theta_2 - c_2 \dot{\theta}_2 \end{aligned}$$

$$\alpha = \frac{J_2}{m_2 l_2}, \quad \beta = \frac{c_2}{m_2 l_2}$$

$$\begin{aligned} L_1 \cos \theta_2 \cdot \ddot{\theta}_1 + \alpha \ddot{\theta}_2 \\ = \alpha \dot{\theta}_1^2 \sin \theta_2 \cos \theta_2 + g \sin \theta_2 - \beta \dot{\theta}_2 \end{aligned}$$

- 既知パラメータ
- 未知パラメータ



m_2 : 振子の質量

▶ 数理モデル

回転型倒立振子の数理モデル

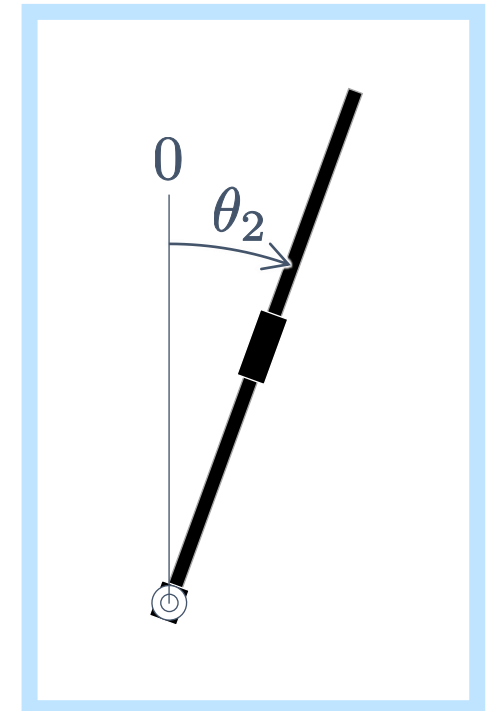
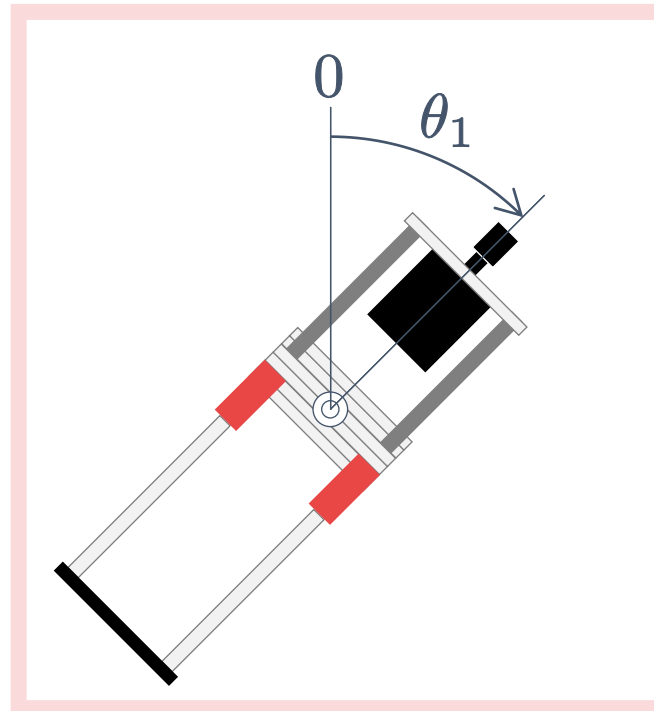
アーム

$$\ddot{\theta}_1 + a\dot{\theta}_1 = bv - d$$

$$\begin{aligned} L_1 \cos \theta_2 \cdot \ddot{\theta}_1 + \alpha \ddot{\theta}_2 \\ = \alpha \dot{\theta}_1^2 \sin \theta_2 \cos \theta_2 + g \sin \theta_2 - \beta \dot{\theta}_2 \end{aligned}$$

振子

- 既知パラメータ
- 未知パラメータ
- 外乱 d : 静止摩擦
動摩擦
振子の振動



モデリングの学習 (回転型倒立振子)

▶ 数理モデル

▶ **アームのパラメータ同定**

- 2次遅れ系の特性に基づく方法
- 最小2乗法

▶ 振子のパラメータ同定

- 1自由度振動系の特性に基づく方法
- 最小2乗法

▶ アームのパラメータ同定

アームの PID 制御で
説明したので**省略**します。

モデリングの学習 (回転型倒立振子)

- ▶ 数理モデル
- ▶ アームのパラメータ同定
 - 2次遅れ系の特性に基づく方法
 - 最小2乗法
- ▶ **振子のパラメータ同定**
 - **1自由度振動系の特性に基づく方法**
 - 最小2乗法



振動系

振動周期 減衰率
非線形性 線形化
ルンゲ=クッタ法

● 線形 1 自由度振動系

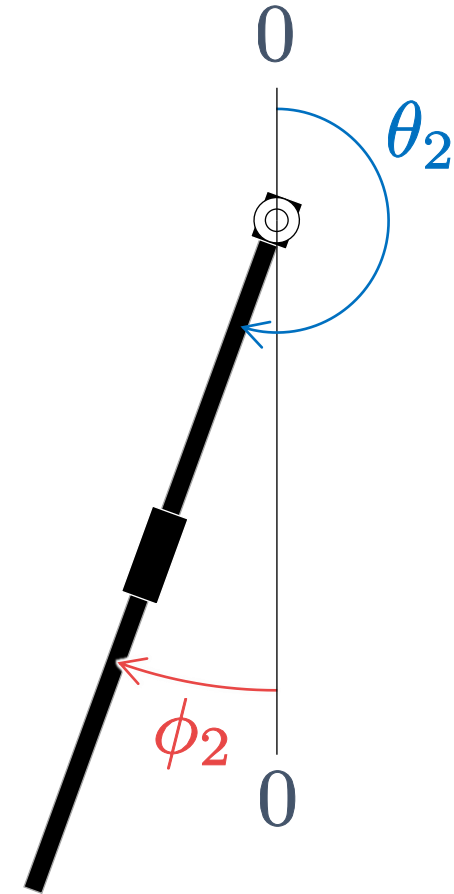
振子の数理モデル

$$\begin{aligned} L_1 \cos \theta_2 \cdot \ddot{\theta}_1 + \alpha \ddot{\theta}_2 \\ = \alpha \dot{\theta}_1^2 \sin \theta_2 \cos \theta_2 + g \sin \theta_2 - \beta \dot{\theta}_2 \end{aligned}$$

振子角の基準を真下に変更

$$\theta_2 = \phi_2 + \pi$$

$$\begin{aligned} -L_1 \cos \phi_2 \cdot \ddot{\theta}_1 + \alpha \ddot{\phi}_2 \\ = \alpha \dot{\theta}_1^2 \sin \phi_2 \cos \phi_2 - g \sin \phi_2 - \beta \dot{\phi}_2 \end{aligned}$$



● 線形 1 自由度振動系

振子の数理モデル：真下基準

$$\begin{aligned} & -L_1 \cos \phi_2 \cdot \ddot{\theta}_1 + \alpha \ddot{\phi}_2 \\ & = \alpha \dot{\theta}_1^2 \sin \phi_2 \cos \phi_2 - g \sin \phi_2 - \beta \dot{\phi}_2 \end{aligned}$$

アームを固定

$$\dot{\theta}_1 = \ddot{\theta}_1 = 0$$

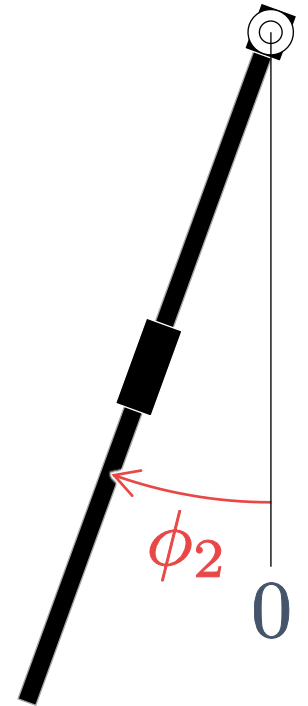
$$\alpha \ddot{\phi}_2 + \beta \dot{\phi}_2 + g \sin \phi_2 = 0$$

振子が真下の近傍で動作：線形化

$$\sin \phi_2 \simeq \phi_2$$

$$\alpha \ddot{\phi}_2 + \beta \dot{\phi}_2 + g \phi_2 = 0$$

2 階の
線形微分方程式



● 線形 1 自由度振動系

振子の数理モデル：真下基準

$$\alpha \ddot{\phi}_2 + \beta \dot{\phi}_2 + g \phi_2 = 0$$

2 階の
線形微分方程式

$$\ddot{\phi}_2 + 2\zeta_2 \omega_{n2} \dot{\phi}_2 + \omega_{n2}^2 \phi_2 = 0$$

$$\begin{cases} 2\zeta_2 \omega_{n2} = \frac{\beta}{\alpha} \\ \omega_{n2}^2 = \frac{g}{\alpha} \end{cases}$$

$$\begin{cases} \alpha = \frac{g}{\omega_{n2}^2} \\ \beta = 2\zeta_2 \omega_{n2} \alpha \end{cases}$$

● 線形 1 自由度振動系

振子が真下の近傍では …

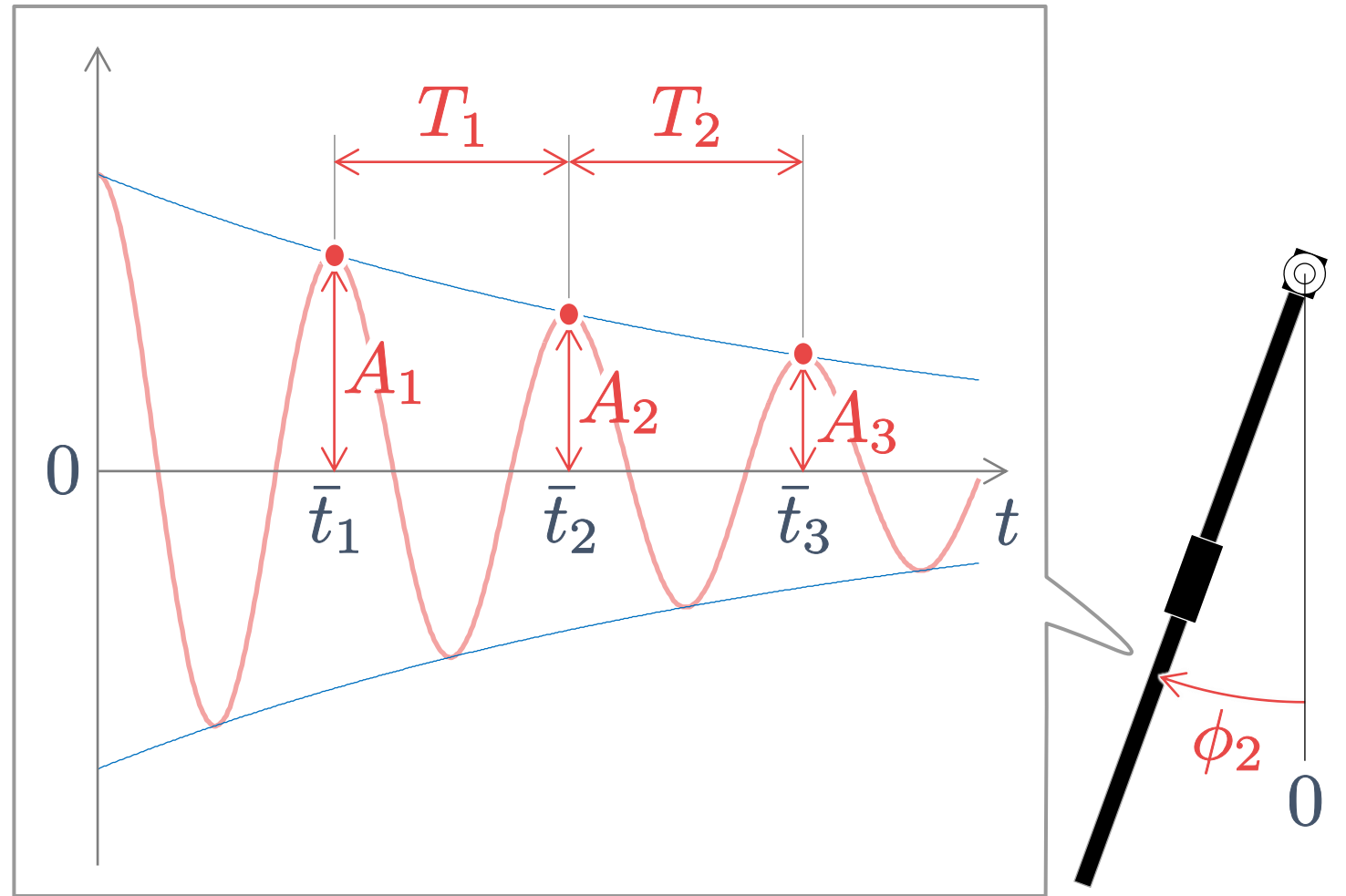
自由振動

振動周期

$$T = T_i : \text{一定}$$

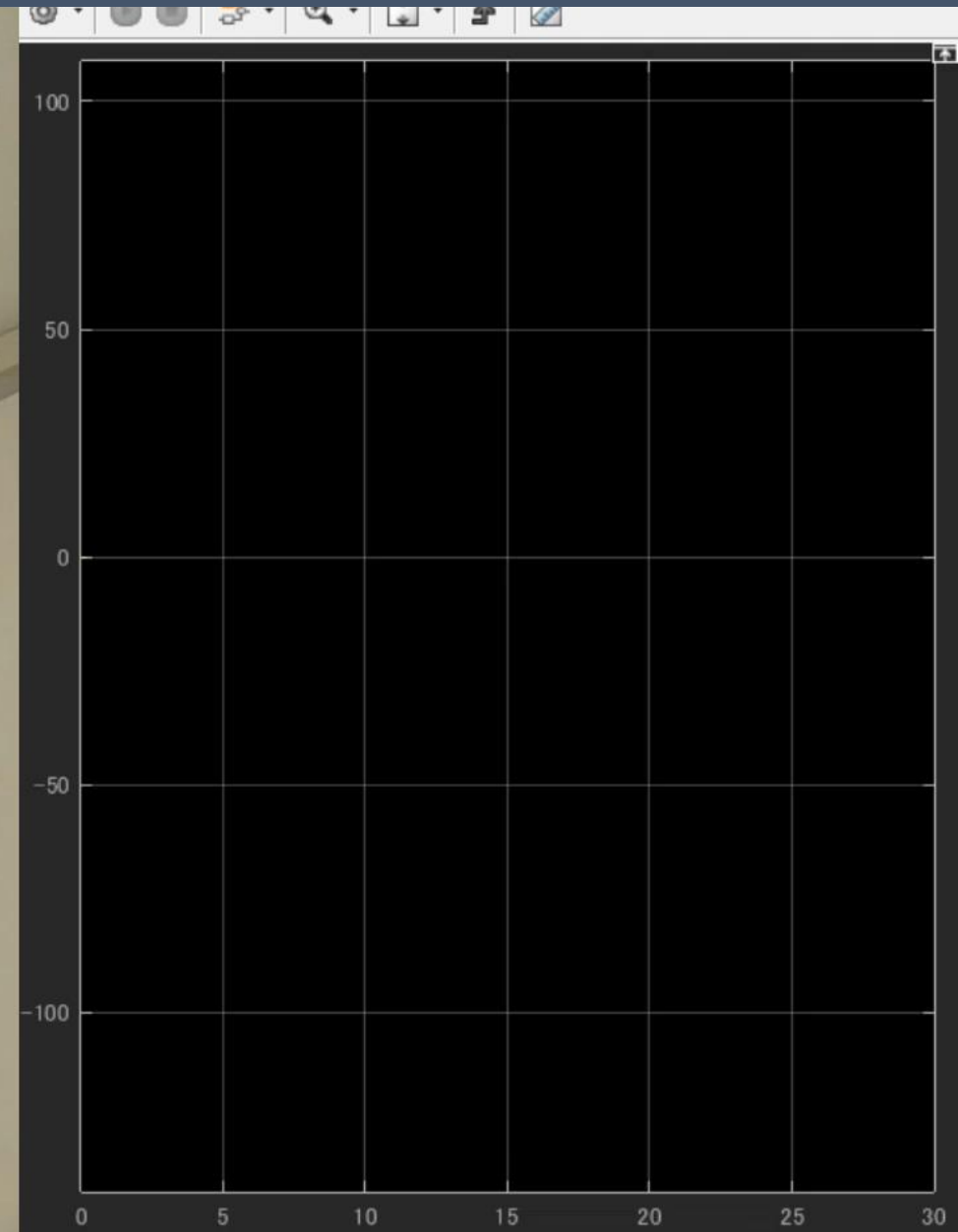
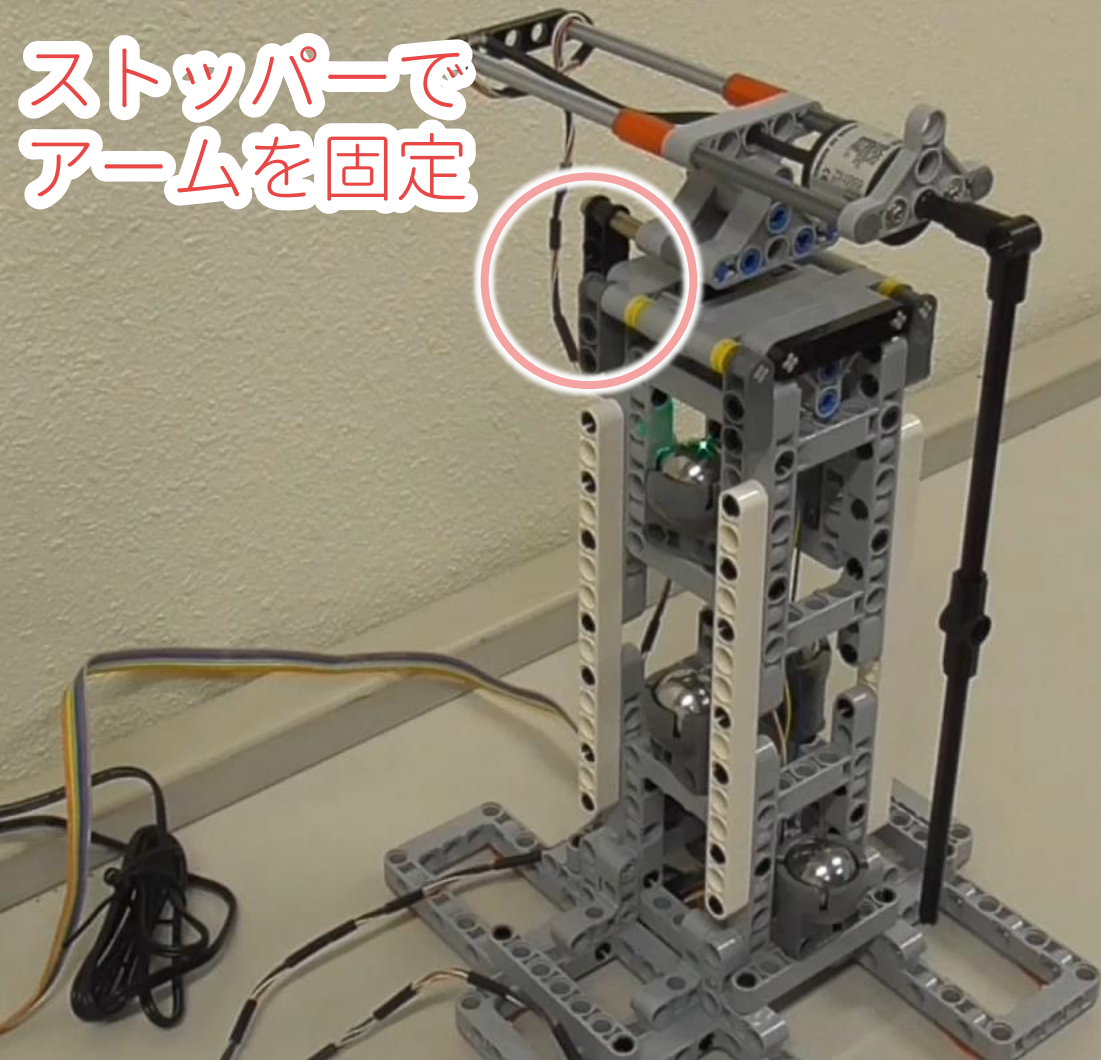
減衰率

$$\lambda = \lambda_i = \frac{A_{i+1}}{A_i} : \text{一定}$$



● 線形 1 自由度振動系

ストッパーで
アームを固定



準備完了

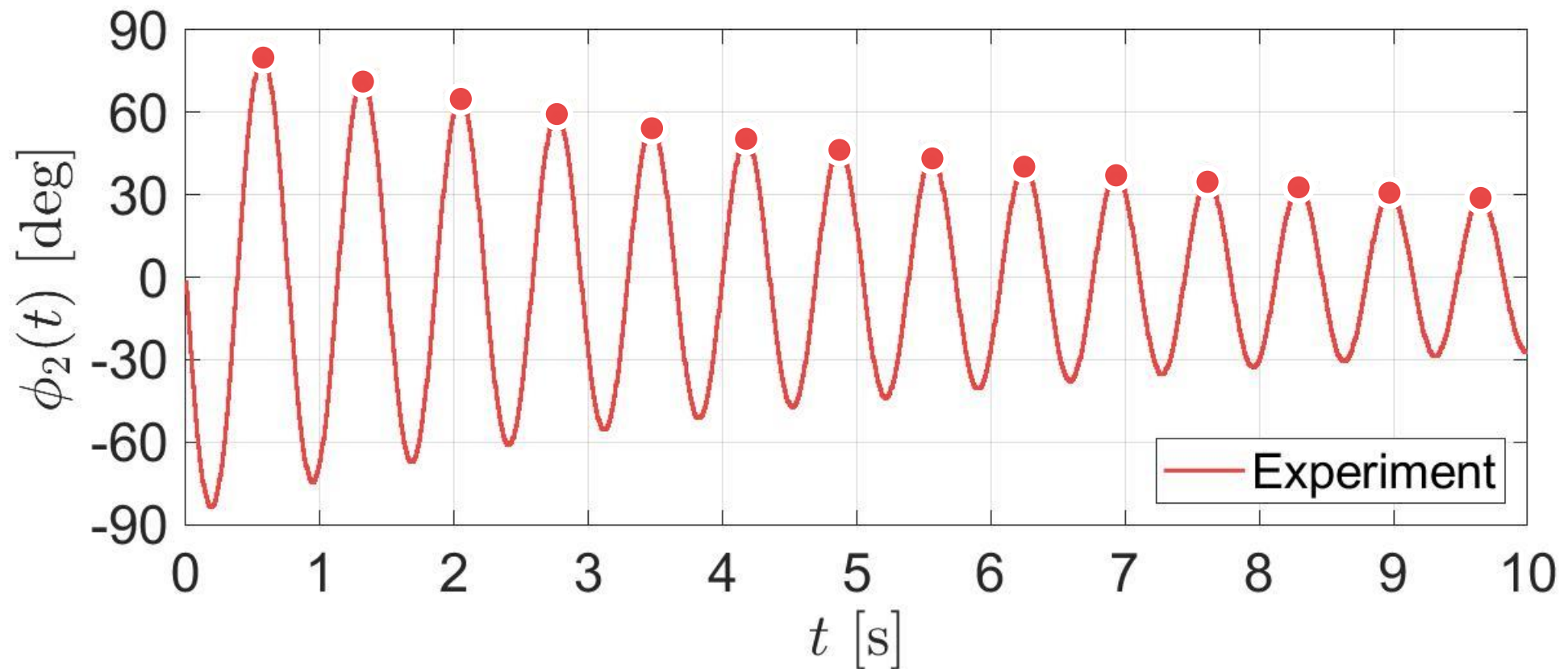
サンプル ベース T=0.230

● 線形 1 自由度振動系

$$\begin{cases} T = \frac{2\pi}{\omega_{n2} \sqrt{1 - \zeta_2^2}} \\ \lambda = e^{-\zeta_2 \omega_{n2} T} \end{cases}$$

$$\begin{cases} \zeta_2 \\ \omega_{n2} \end{cases}$$

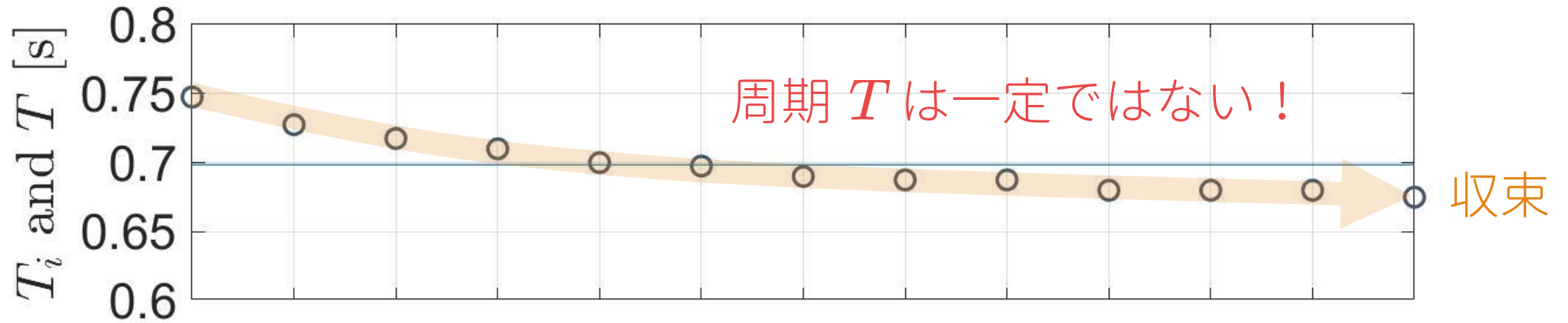
$$\begin{cases} \alpha = \frac{g}{\omega_{n2}^2} \\ \beta = 2\zeta_2 \omega_{n2} \alpha \end{cases}$$



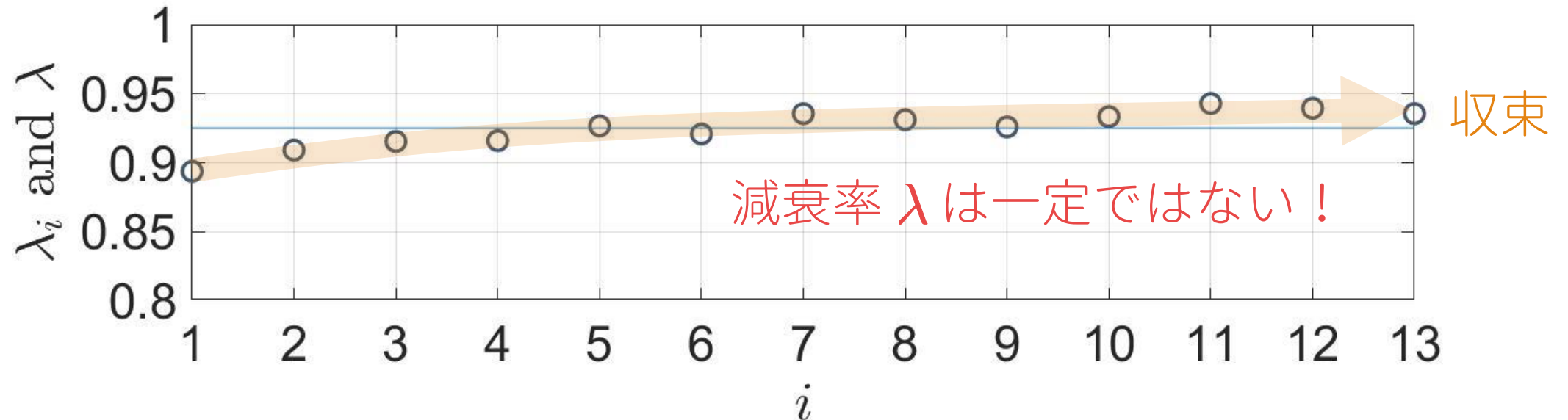
● 線形 1 自由度振動系

振子の初期角度が大きいので …

周期



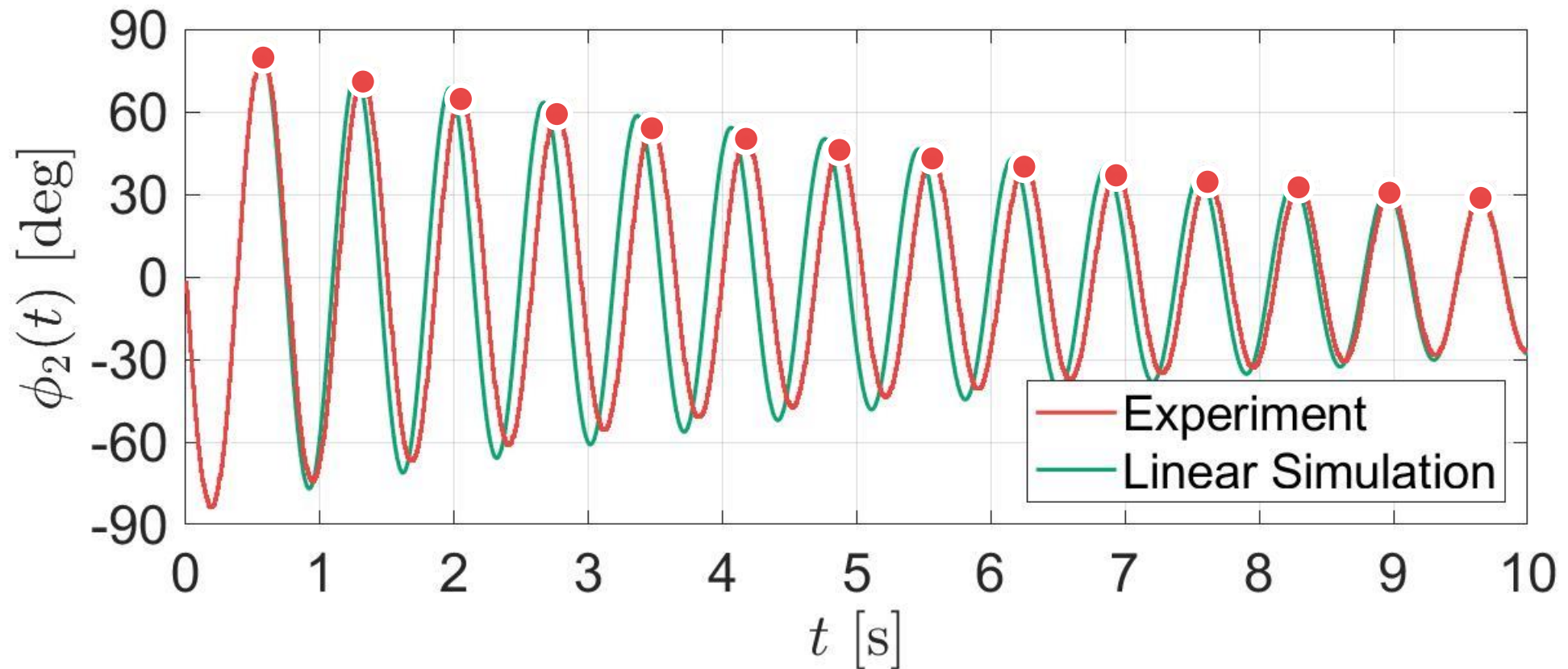
減衰率



● 線形 1 自由度振動系

振子の初期角度が大きいので …

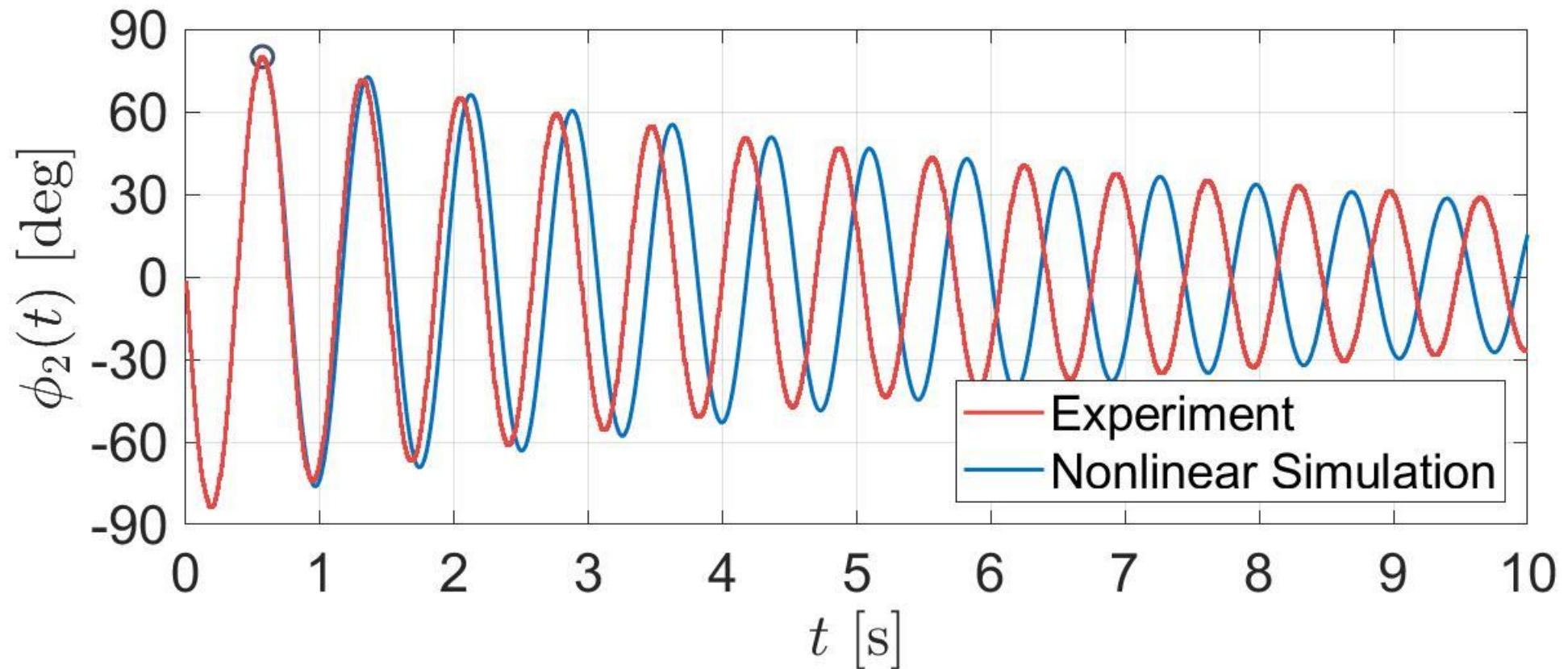
実験結果と線形シミュレーション結果はずれる！
(平均的に一致)



● 線形 1 自由度振動系

振子の初期角度が大きいので …

実験結果と非線形シミュレーション結果はかなりずれる！



そこで...

最小 2 乗法により

非線形モデルのままパラメータ同定

モデリングの学習 (回転型倒立振子)

- ▶ 数理モデル
- ▶ アームのパラメータ同定
 - 2次遅れ系の特性に基づく方法
 - 最小2乗法
- ▶ **振子のパラメータ同定**
 - 1自由度振動系の特性に基づく方法
 - **最小2乗法**



最小2乗法
数値微分
フィルタ処理

● 最小 2 乗法

振子の数理モデル：非線形モデル

$$\alpha \ddot{\phi}_2 + \beta \dot{\phi}_2 + g \sin \phi_2 = 0$$

2 階の
非線形微分方程式

$$\underbrace{\begin{bmatrix} \ddot{\phi}_2(t) & \dot{\phi}_2(t) \end{bmatrix}}_{M(t)} \underbrace{\begin{bmatrix} \alpha \\ \beta \end{bmatrix}}_p = \underbrace{-g \sin \phi_2(t)}_{N(t)}$$

● 最小2乗法

振子の数理モデル：非線形モデル

$$\begin{bmatrix} \ddot{\phi}_2(t) & \dot{\phi}_2(t) \end{bmatrix} \begin{bmatrix} \alpha \\ \beta \end{bmatrix} = -g \sin \phi_2(t)$$

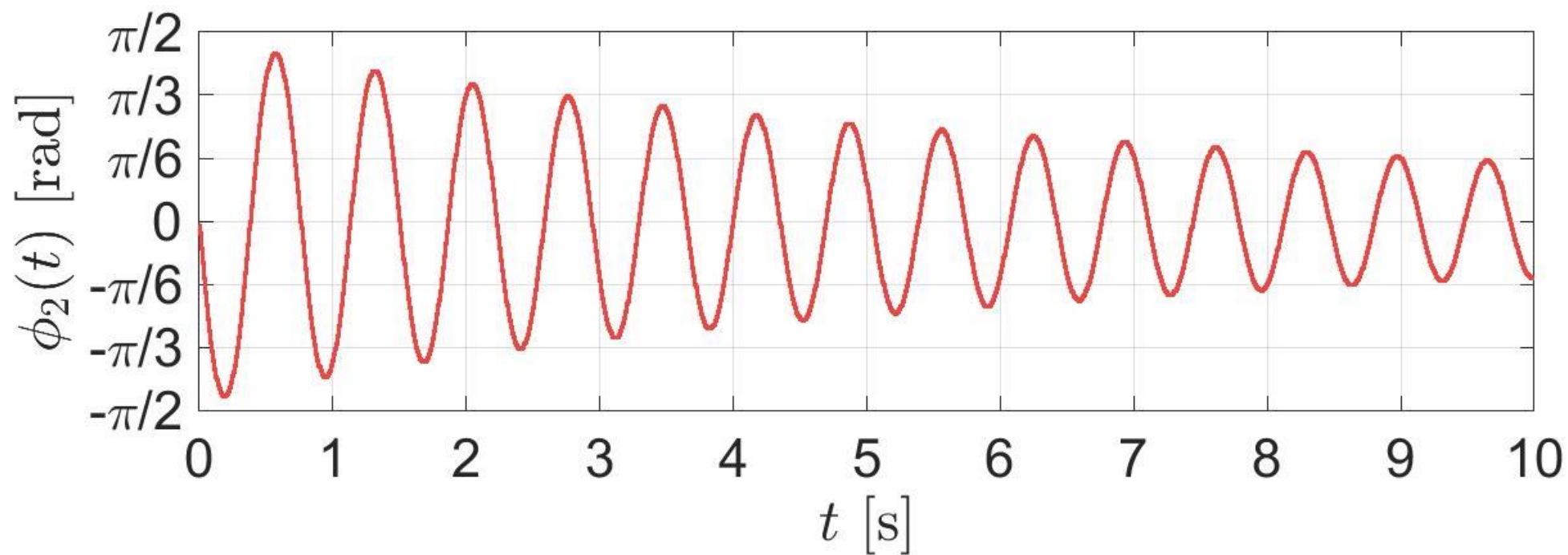
↓ $t = 0, h, \dots, kh \ (h = 10 \text{ [ms]})$

$$\underbrace{\begin{bmatrix} \ddot{\phi}_2[0] & \dot{\phi}_2[0] \\ \ddot{\phi}_2[1] & \dot{\phi}_2[1] \\ \vdots & \vdots \\ \ddot{\phi}_2[k] & \dot{\phi}_2[k] \end{bmatrix}}_{M_s} \underbrace{\begin{bmatrix} \alpha \\ \beta \end{bmatrix}}_p = \underbrace{\begin{bmatrix} -g \sin \phi_2[0] \\ -g \sin \phi_2[1] \\ \vdots \\ -g \sin \phi_2[k] \end{bmatrix}}_{N_s}$$

↓ $M_s^\top M_s p = M_s^\top N_s$

↓ $p = (M_s^\top M_s)^{-1} M_s^\top N_s$

● 最小 2 乘法



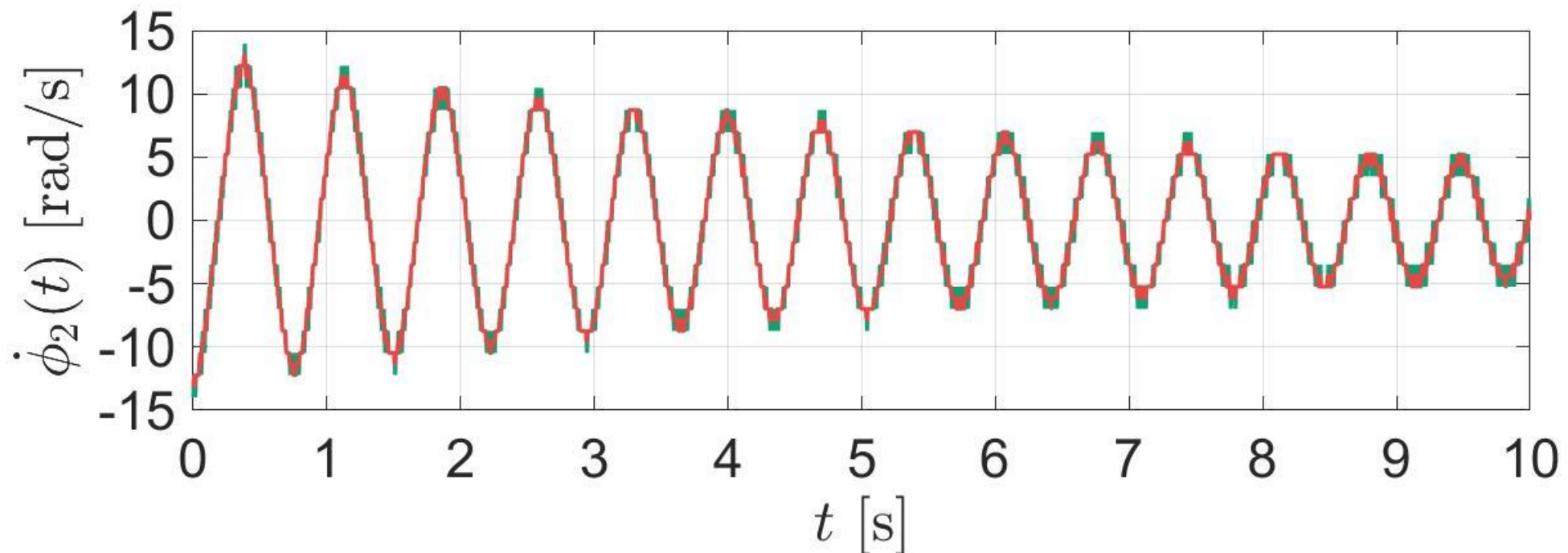
● 最小2乗法

後退差分近似 $\dot{\phi}_2[n] = \frac{\phi_2[n] - \phi_2[n-1]}{h}$

中心差分近似 $\dot{\phi}_2[n] = \frac{\phi_2[n+1] - \phi_2[n-1]}{2h}$

…… チャタリングを軽減するために**オフライン**で算出

角速度



● 最小 2 乗法

後退差分近似

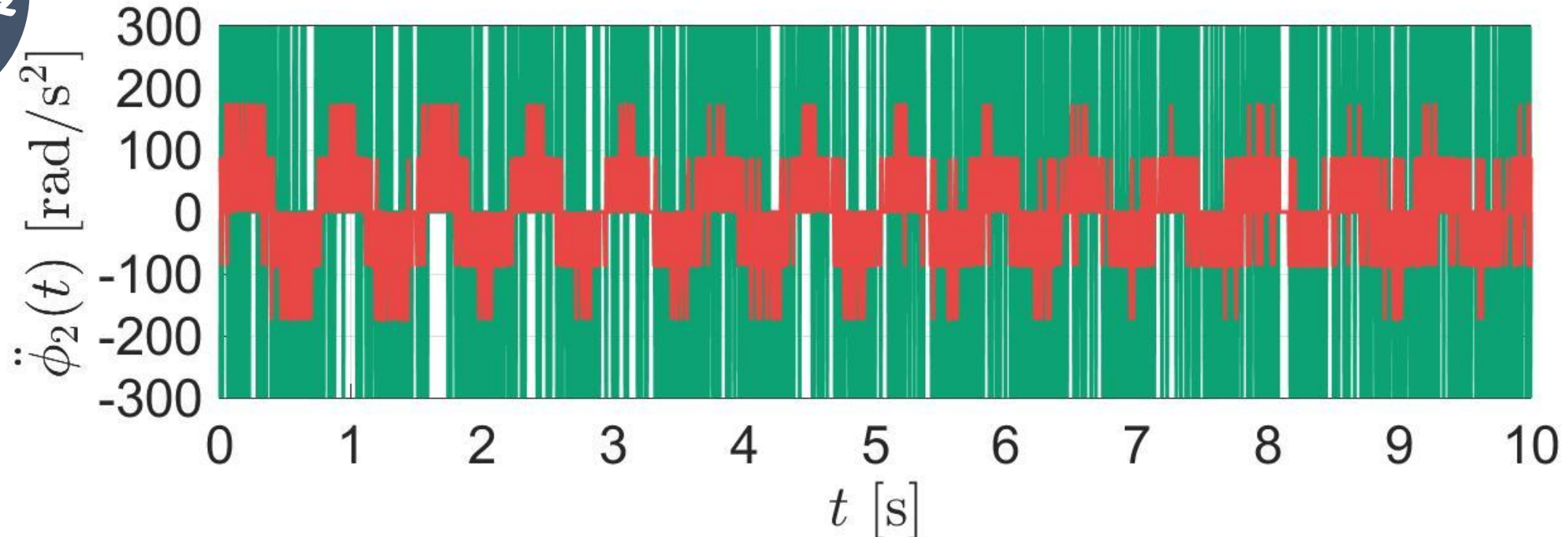
$$\ddot{\phi}_2[n] = \frac{\dot{\phi}_2[n] - \dot{\phi}_2[n-1]}{h}$$

中心差分近似

$$\ddot{\phi}_2[n] = \frac{\dot{\phi}_2[n+1] - \dot{\phi}_2[n-1]}{2h}$$

…… チャタリングを軽減するために**オフライン**で算出

角加速度



● 最小2乗法

$$\begin{bmatrix} M_{f1}(t) & M_{f2}(t) \end{bmatrix} \begin{bmatrix} \alpha \\ \beta \end{bmatrix} = N_f(t), \begin{cases} M_{f1}(t) = G_f(s) \ddot{\phi}_2(t) \\ M_{f2}(t) = G_f(s) \dot{\phi}_2(t) \\ N_f(t) = G_f(s) (-g \sin \phi_2(t)) \end{cases}$$

$t = 0, h, \dots, kh \ (h = 10 \text{ [ms]})$

$$\underbrace{\begin{bmatrix} M_{f1}[0] & M_{f2}[0] \\ M_{f1}[1] & M_{f2}[1] \\ \vdots & \vdots \\ M_{f1}[k] & M_{f2}[k] \end{bmatrix}}_{M_{fs}} \underbrace{\begin{bmatrix} \alpha \\ \beta \end{bmatrix}}_p = \underbrace{\begin{bmatrix} N_f[0] \\ N_f[1] \\ \vdots \\ N_f[k] \end{bmatrix}}_{N_{fs}}$$

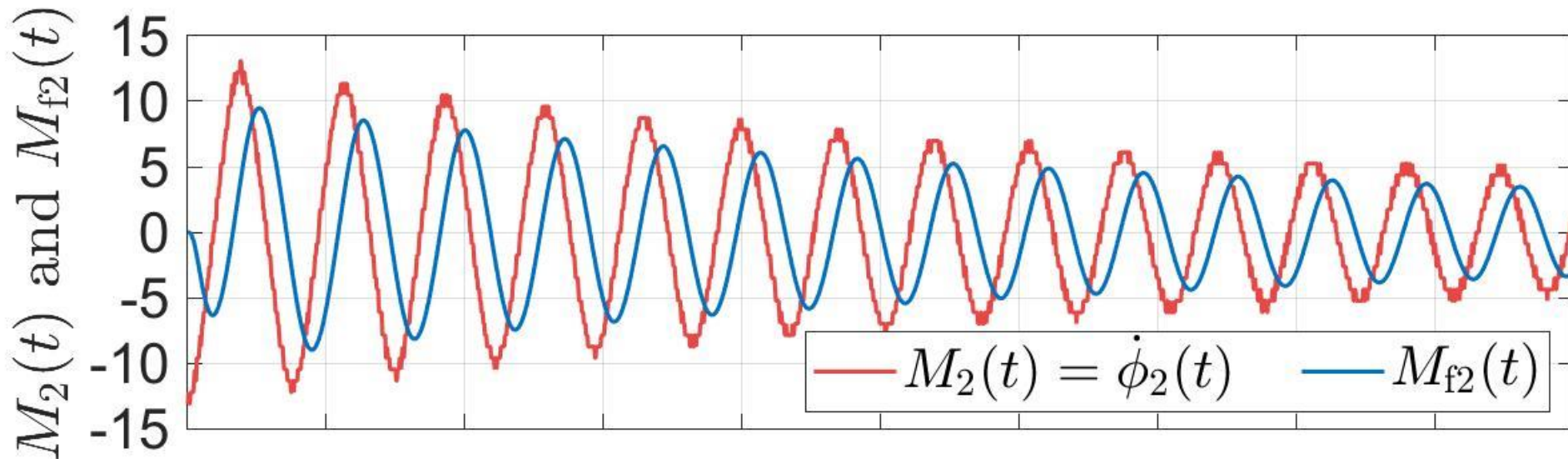
$$G_f(s) = \frac{1}{(1 + T_f s)^3}$$

3 次の LPF

$$M_{fs}^\top M_{fs} p = M_{fs}^\top N_{fs}$$

$$p = (M_{fs}^\top M_{fs})^{-1} M_{fs}^\top N_{fs}$$

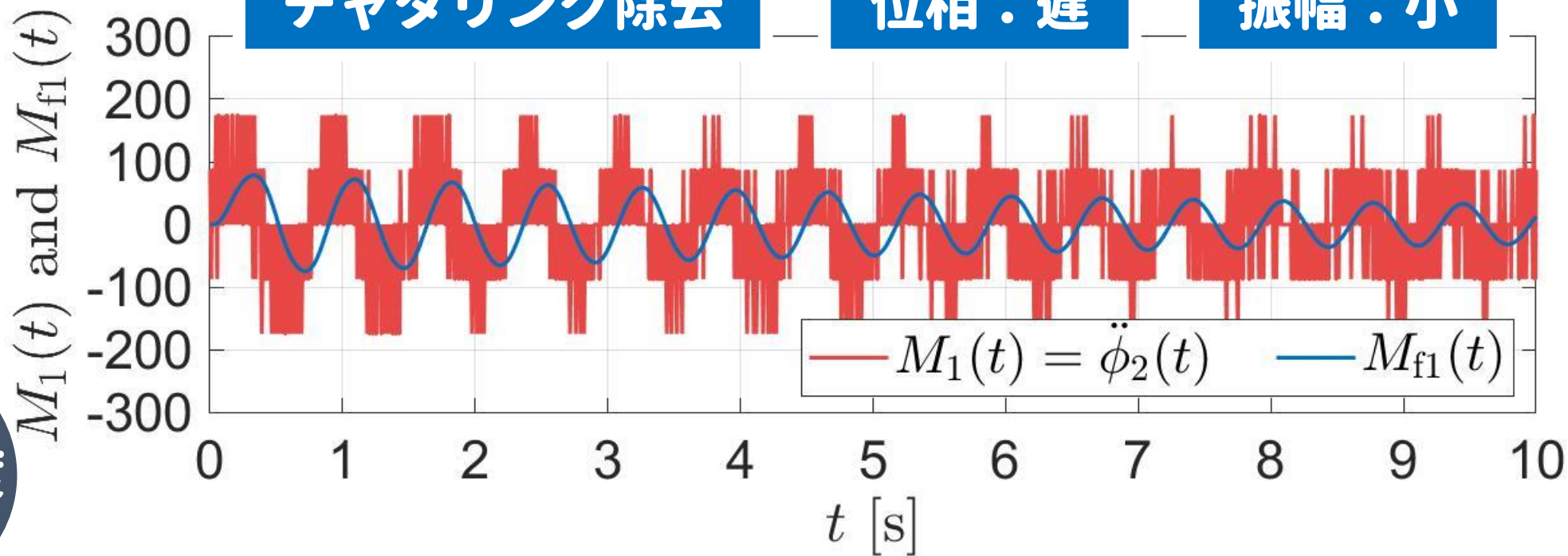
角速度



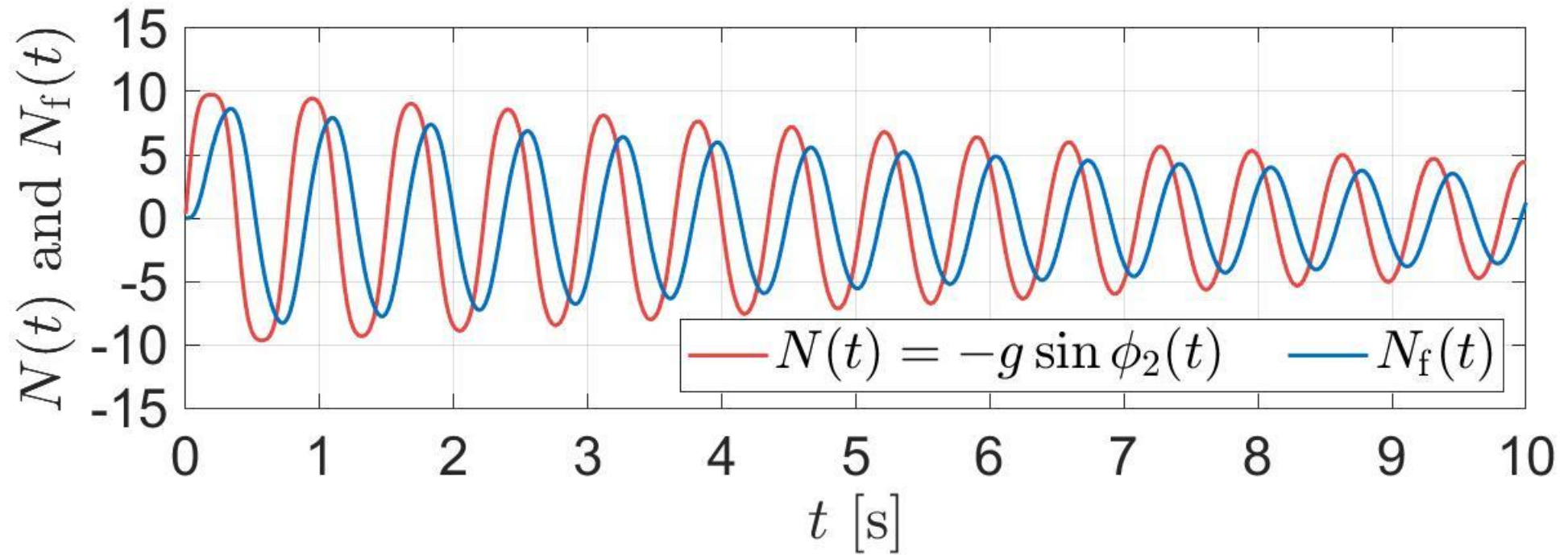
チャタリング除去

位相：遅

振幅：小



角加速度



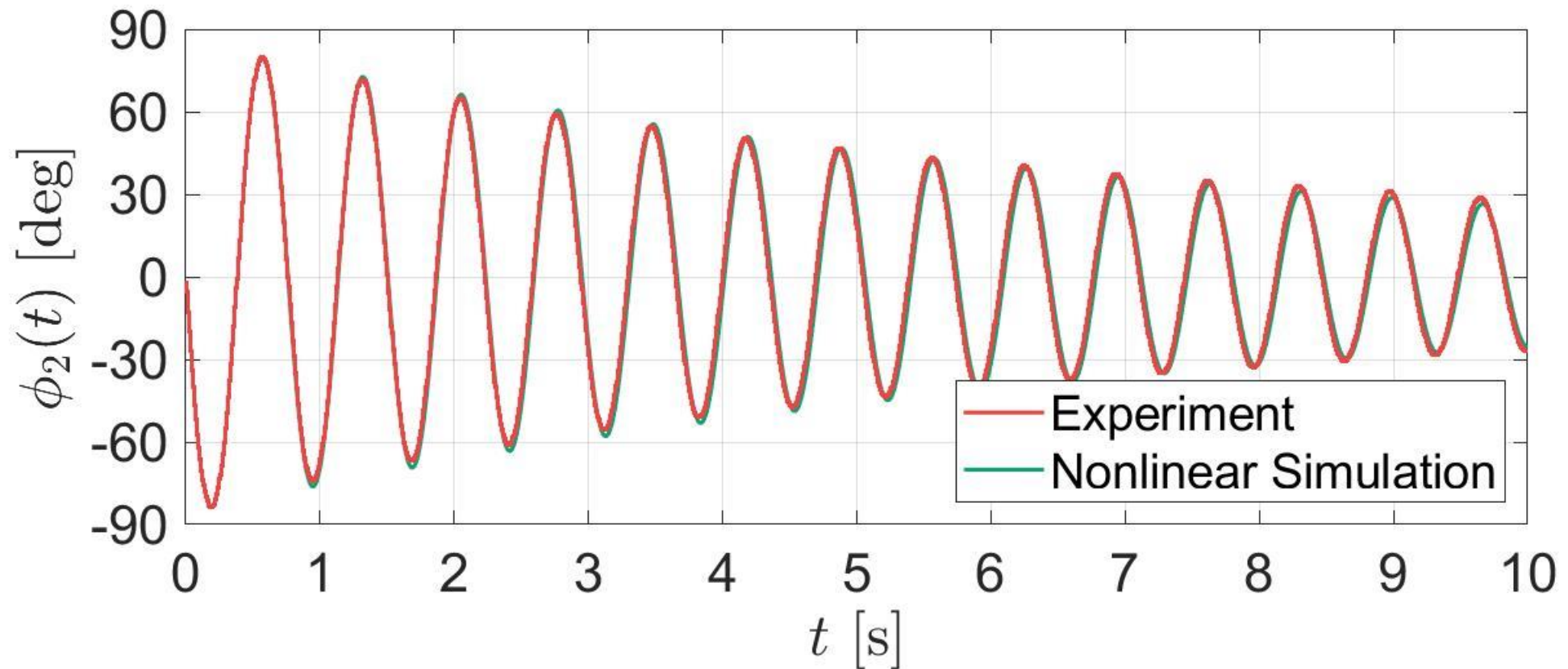
右辺も同じだけ位相を遅らせ、振幅を小さくする

$$\begin{bmatrix} M_{f1}(t) & M_{f2}(t) \end{bmatrix} \begin{bmatrix} \alpha \\ \beta \end{bmatrix} = \textcircled{N_f(t)}, \begin{cases} M_{f1}(t) = G_f(s) \ddot{\phi}_2(t) \\ M_{f2}(t) = G_f(s) \dot{\phi}_2(t) \\ N_f(t) = G_f(s) (-g \sin \phi_2(t)) \end{cases}$$

● 最小2乗法

振子の初期角度が大きくても …

実験結果と非線形シミュレーション結果はほぼ一致！



このスライドは終了です。